

УДК 621.391

ВЕКТОРНЫЙ ФИЛЬТР КАЛЬМАНА

Ахапкина А.М.¹, курсант гр. 033701

Белорусский государственный университет информатики и радиоэлектроники¹

г. Минск, Республика Беларусь

Фильченкова Т.М. – магистр. технических наук

Аннотация. В данной статье приведены теоретические сведения и практические результаты выполнения векторного фильтра Калмана, который позволяет строить оценки подвижной модели и тем самым определять ее местоположение в пространстве относительно трех осей.

Ключевые слова. оценка, фильтр Калмана, марковская модель, шум, оси, GPS, матрица

Актуально определение местонахождения подвижных объектов (машин, самолетов, людей) как для частных, так и для государственных структур. Определение местоположения включает в себя три этапа: непосредственное определение местоположение, передача данных и управления, обработка данных.

Самым определяющим этапом является непосредственное определение местоположения движущегося объекта, ведь если на начальном этапе определить его неверно – последующие этапы будут бессмысленны. Так же не менее важным этапов является передача данных и управления подвижными объектами, который не должен затрачивать много времени.

Во многих системах GPS используется Калмановский подход, имеющий наименьшую погрешность.

В нем используется алгоритм оценки сразу по трем пространственным осям, где процедуры выполняются независимо от каждой:

$$\begin{cases} \hat{x}_k = u(z_k, \hat{x}_{k-1}) \\ \hat{y}_k = u(z_k, \hat{y}_{k-1}) \\ \hat{z}_k = u(z_k, \hat{z}_{k-1}) \end{cases} \quad k = 1, 2, 3, \dots \quad (1)$$

где $u(\circ)$ – калмановский алгоритм построения текущей оценки.

Так как все три координаты прадствалют собой точку в трехмерном пространстве, то изменение положение объекта удобнее представить векторно-матричной марковской моделью:

$$\begin{bmatrix} x_k \\ y_k \\ z_k \end{bmatrix} = \begin{bmatrix} r_x & 0 & 0 \\ 0 & r_y & 0 \\ 0 & 0 & r_z \end{bmatrix} \cdot \begin{bmatrix} x_{k-1} \\ y_{k-1} \\ z_{k-1} \end{bmatrix} + \begin{bmatrix} \xi_{xk} \\ \xi_{yk} \\ \xi_{zk} \end{bmatrix} \quad (2)$$

или, в таких очевидных обозначениях:

$$\bar{x}_k = R \cdot \bar{x}_{k-1} + \bar{\xi}_k \quad (3)$$

Если предположить, что все случайные составляющие подчиняются нормальному закону распределения с нулевым средним и некоторыми дисперсиями. Например, для

$$M\left\{\bar{\xi}_k \cdot \bar{\xi}_k^T\right\} = M\left\{\begin{bmatrix} \xi_{xk} \\ \xi_{yk} \\ \xi_{zk} \end{bmatrix} \cdot \begin{bmatrix} \xi_{xk} \\ \xi_{yk} \\ \xi_{zk} \end{bmatrix}\right\} = \begin{bmatrix} \sigma_{\xi_x}^2 & 0 & 0 \\ 0 & \sigma_{\xi_y}^2 & 0 \\ 0 & 0 & \sigma_{\xi_z}^2 \end{bmatrix} = V_{\xi} \quad (4)$$

Модель наблюдения, соответственно, определяется вектором z:

$$\begin{bmatrix} z_{xk} \\ z_{yk} \\ z_{zk} \end{bmatrix} = \begin{bmatrix} x_k \\ y_k \\ z_k \end{bmatrix} + \begin{bmatrix} n_{xk} \\ n_{yk} \\ n_{zk} \end{bmatrix} \quad (5)$$

или, в векторном виде:

$$\bar{z}_k = \bar{x}_k + \bar{n}_k \quad (6)$$

Здесь дисперсии шумов будут образовывать диагональную матрицу:

$$M\left\{\bar{n}_k \cdot \bar{n}_k^T\right\} = M\left\{\begin{bmatrix} n_{xk} \\ n_{yk} \\ n_{zk} \end{bmatrix} \cdot \begin{bmatrix} n_{xk} \\ n_{yk} \\ n_{zk} \end{bmatrix}\right\} = \begin{bmatrix} \sigma_{n_x}^2 & 0 & 0 \\ 0 & \sigma_{n_y}^2 & 0 \\ 0 & 0 & \sigma_{n_z}^2 \end{bmatrix} = V_k \quad (7)$$

Имеем векторную марковскую модель изменения объекта в пространстве и вектор наблюдений текущего местоположения объекта (рисунок 1):

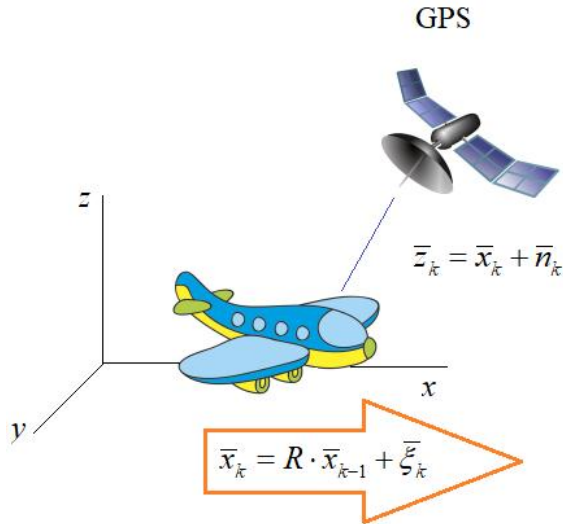


Рисунок 1 – Векторная марковская модель изменения местоположения самолета

Когда на вход приемника приходит самое первое наблюдение, то лучшая оценка – это значение самого наблюдения:

$$\hat{\bar{x}}_1 = z_1 \quad (8)$$

с дисперсией ошибок оценивания:

$$P = V_1 \quad (9)$$

В следующий момент времени модель (самолет) немного меняет свое местоположение и на вход GPS-приемника приходит очередное наблюдение:

$$\bar{z}_2 = \bar{x}_2 + \bar{n}_2 \quad (10)$$

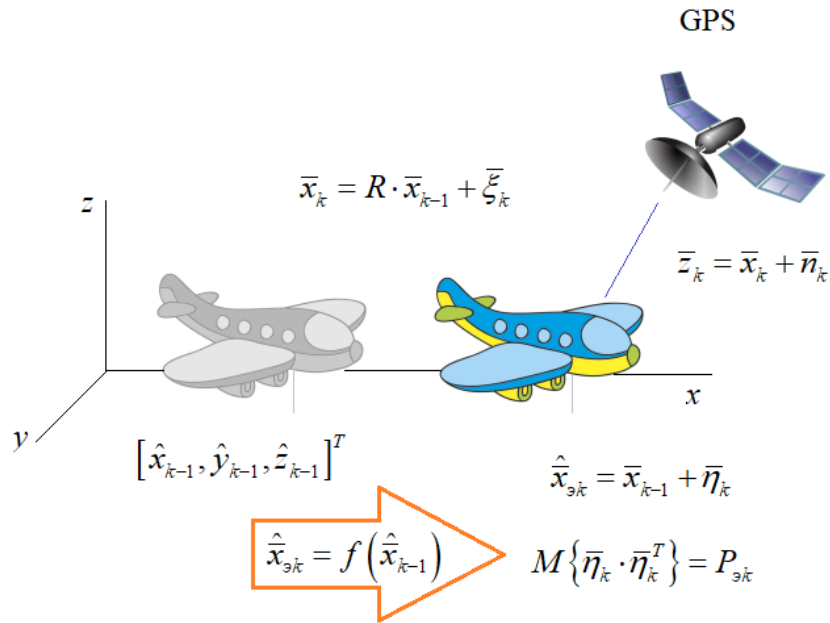


Рисунок 2 – Векторная марковская модель (самолет) в следующий момент времени

В данной ситуации при построении оценки текущего местоположения воспользуемся двумя наблюдениями. Первое – вектор \vec{z}_k , а второе наблюдение берется как прогноз текущего положения из предыдущей оценки \vec{x}_1 , используя марковскую модель движения:

$$\hat{\vec{x}}_{эк} = R \cdot \hat{\vec{x}}_1 \quad (11)$$

Затем вычисляется дисперсия ошибок прогноза, которая равна:

$$\begin{aligned} P_{эк} &= M\left\{\left(\vec{x}_2 - R\hat{\vec{x}}_1\right)^2\right\} = M\left\{\left(R\vec{x}_1 + \vec{\xi}_2 - R\hat{\vec{x}}_1\right)^2\right\} = \\ &= RM\left\{\left(\vec{x}_1 - \hat{\vec{x}}_1\right)^2\right\} R^T + V_{\xi} = R \cdot P_1 \cdot R^T + V_{\xi} \end{aligned} \quad (12)$$

В результате имеются все необходимые данные для построения оценок координат на текущем шаге с помощью векторного фильтра Калмана. Используя формулы скалярного фильтра:

$$P_k = \frac{P_{эк} \cdot \sigma_k^2}{P_{эк} + \sigma_k^2}, \quad \hat{x}_k = \hat{x}_{эк} + \frac{P_k}{\sigma_k^2} \cdot (z_k - \hat{x}_{эк}) \quad (13)$$

Обобщенно для векторно-матричного случая:

$$P_k = P_{эк} \cdot V_k \cdot (P_{эк} + V_k)^{-1}, \quad \hat{\vec{x}}_k = \hat{\vec{x}}_{эк} + P_k \cdot V_k^{-1} \cdot (\vec{z}_k - \hat{\vec{x}}_{эк}) \quad (14)$$

В данном случае формально преобразовано скалярное выражение в векторное и получено возможность строить векторы оценок. В этот состоит одно из достоинств векторов и матриц: оно позволяет легко обобщать задачи на многомерный случай.

На втором шаге имеются следующие вычисления:

$$P_2 = P_{32} \cdot V_2 \cdot (P_{32} + V_2)^{-1}, \quad \hat{x}_2 = \hat{x}_{32} + P_2 \cdot V_2^{-1} \cdot (\bar{z}_2 - \hat{x}_{32}) \quad (15)$$

Вычисления на последующих шагах вычисляются рекуррентно по формулам (15).

Для реализации векторного фильтра Калмана на Python необходимо учесть, что при условии некоррелированности и шумов и независимости перемещений по каждой из координат, получено три независимых канала оценивания параметров x, y, z :

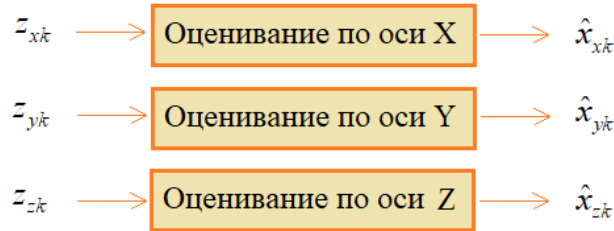


Рисунок 3 – Независимые каналы оценивания параметров

Однако, если модифицировать модель и учесть в ней скорости движения объекта по каждой координат, то получится взаимосвязь между наблюдаемыми скоростями и соответствующей координаты:

$$\begin{bmatrix} x_i \\ y_i \\ z_i \\ v_{xi} \\ v_{yi} \\ v_{zi} \end{bmatrix} = \begin{bmatrix} 1 & 0 & 0 & 1 & 0 & 0 \\ 0 & 1 & 0 & 0 & 1 & 0 \\ 0 & 0 & 1 & 0 & 0 & 1 \\ 0 & 0 & 0 & r_x & 0 & 0 \\ 0 & 0 & 0 & 0 & r_y & 0 \\ 0 & 0 & 0 & 0 & 0 & r_z \end{bmatrix} \cdot \begin{bmatrix} x_{i-1} \\ y_{i-1} \\ z_{i-1} \\ v_{xi-1} \\ v_{yi-1} \\ v_{zi-1} \end{bmatrix} + \begin{bmatrix} 0 \\ 0 \\ 0 \\ \varepsilon_{vxi} \\ \varepsilon_{vyi} \\ \varepsilon_{vzi} \end{bmatrix} \quad (16)$$

Причем, векторный фильтр Каламана автоматически наилучшим образом скомбинирует эти наблюдения для вычисления оптимальной выходной оценки в соответствии с описанной моделью перемещения. И это очень удобно, ведь не нужно решать систему линейных уравнений, находить оптимальные коэффициенты, все аккуратно расписывать. Все это делается автоматически при вычислении обратных матриц в фильтре Калмана.

Далее, для второго варианта матрицы дисперсий порождающего шума и шума наблюдений, будут выглядеть следующим образом:

$$V_\xi = \begin{bmatrix} 0 & 0 & 0 & 0 & 0 & 0 \\ 0 & 0 & 0 & 0 & 0 & 0 \\ 0 & 0 & 0 & 0 & 0 & 0 \\ 0 & 0 & 0 & \sigma_\xi^2 & 0 & 0 \\ 0 & 0 & 0 & 0 & \sigma_\xi^2 & 0 \\ 0 & 0 & 0 & 0 & 0 & \sigma_\xi^2 \end{bmatrix}, \quad V = \begin{bmatrix} \sigma^2 & 0 & 0 & 0 & 0 & 0 \\ 0 & \sigma^2 & 0 & 0 & 0 & 0 \\ 0 & 0 & \sigma^2 & 0 & 0 & 0 \\ 0 & 0 & 0 & \sigma_v^2 & 0 & 0 \\ 0 & 0 & 0 & 0 & \sigma_v^2 & 0 \\ 0 & 0 & 0 & 0 & 0 & \sigma_v^2 \end{bmatrix} \quad (17)$$

Весь остальной алгоритм оценивания будет прежним:

$$P_k = P_{zk} \cdot V_k \cdot (P_{zk} + V_k)^{-1}, \quad \hat{x}_k = \hat{x}_{zk} + P_k \cdot V_k^{-1} \cdot (\bar{z}_k - \hat{x}_{zk}) \quad (18)$$

```
N = 100 # число наблюдений
dNoise = 1 # дисперсия шума
dSignal = 5 # дисперсия сигнала
r = 0.99 # коэффициент корреляции в модели движения
en = 0.1 # дисперсия СВ в модели движения
M = 3 # размерность вектора координат положения объекта
```

Рисунок 4 – Задание параметров для построения оценок

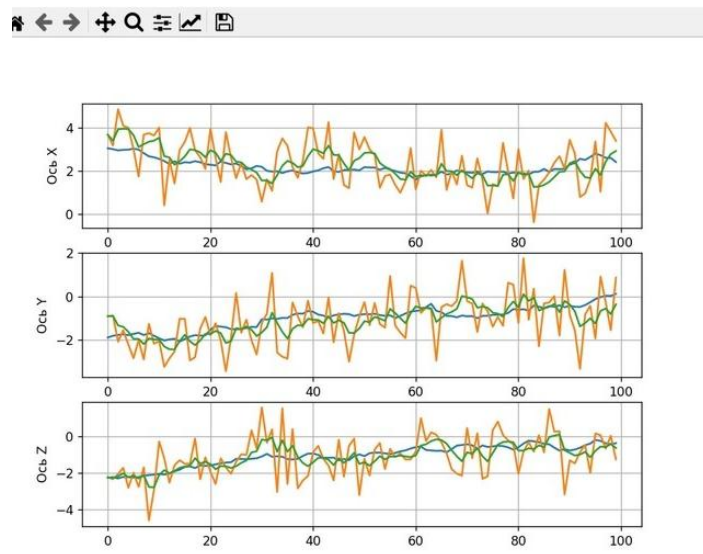


Рисунок 5 – Результат выполнения программы

Список использованных источников:

1. Mohamed Laaraiedh «Implementation of Kalman Filter with Python Language» // paper, 2012
2. Бутковский, О.А «Предельные теоремы для марковских процессов» // диссертация, 2013.
3. Пучков, А.Ю «Разработка методов фильтрации в постановке Р. Калмана в условиях случайной дискретизации сигналов» // диссертация, 2019.